

全土被り(20m)荷重のほか建物荷重を考慮し、側方土圧については地下水位をトンネル下部とし側方土圧係数 $\lambda = 0.5$ を用いた。地盤反力は、トンネル側方地山をN値30以上の砂が占めているが、自立性が悪いこと、急曲線施工部が多いことなどを考慮して地盤反力係数 $k_H = 2.5\%$ を用いた。

3. 継手の設計

継手の設計にあたっては図-5に示すような、セグメント継手を回転バネに、リング間継手をせん断バネに置換した複合リングにより立体骨組解析モデルにより検討した。このモデルは、セグメントリングの挙動を説明するには好都合のモデルではあるが、回転バネ、せん断バネの定数を求めることが難しい。そこで、

今回は $\eta = 0.2$ 、 $\zeta = 0.6$ の平均剛性一様リングから求めた断面力(図-4)および変位に近似するようトライアル計算によりバネ定数を求めた。

その結果、回転バネは $k_0 = 4000 \text{ t/rad}$ 、せん断バネは $k_n = k_t = 1500 \%$ となり、この時のセグメントリングの断面力は図-6に示すとおりである。

リング間に作用するせん断力はすべてコンクリートホゾ(凹凸部)にとらせるようホゾの必要断面を求めた。継手に作用するせん断力は、図-6から求める最大せん断力の生ずる点の前後 15° のせん断力を用い、所要のせん断補強筋を配置した。なお、今回は安全を考慮してリング間ピンを無視した設計となっているが、今後の実験および実測等から、コンクリートホゾとリング間ピンをそれぞれせん断力を分担させることも考えている。

セグメント継手については、図-4から求めるせん断力、コンクリート端面の圧縮応力、図-6から求める接線方向せん断力等について検討した。

また、リング間継手には鎖錠装置を設け、シールド推進時の目開きを防止するよう配慮した。セグメントの目開き防止は漏水防止のうえからも重要で、今回設計にあたり数タイプについて引抜き試験を実施した。

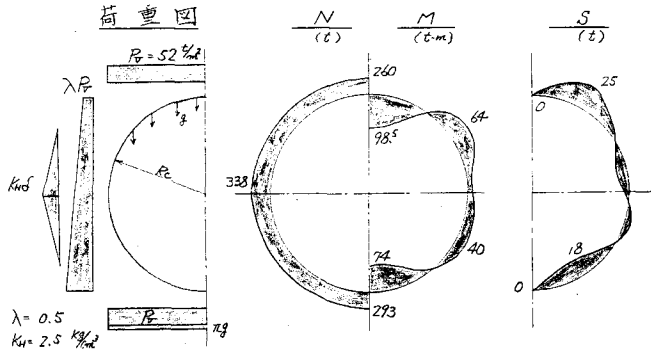


図-4 荷重図および断面力

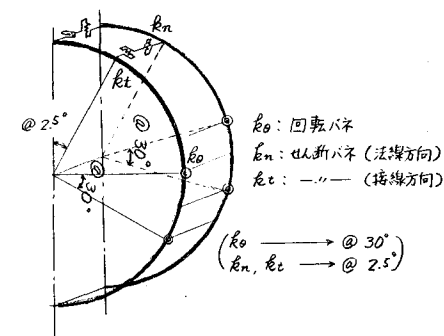


図-5 解析モデル

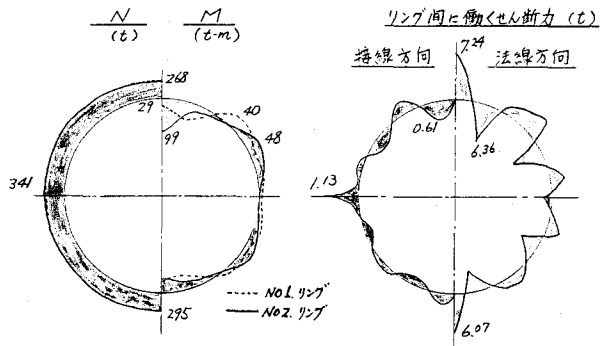


図-6 継手をバネに置換した場合の断面力

あとがき

リング間に凹凸部を有するセグメントはすでに西独等で施工されているが、国内で本格的に用いるのは初めてと思われる。今後各種試験や現地測定を実施し、セグメントリングの挙動および設計法について研究を進めたい。

- [参考文献] 1) 口鉄：シールドトンネルの設計施工指針(集) 52/12
2) 河田他：セグメントリング各種設計法の比較(土研会 733回年次学術講演会概要集 73部 9410)